# СОВЕТСКАЯ ГЕОЛОГИЯ

ОРГАН МИНИСТЕРСТВА ГЕОЛОГИИ И ОХРАНЫ НЕДР СССР

> **11** НОЯБРЬ



ГОСУДАРСТВЕННОЕ НАУЧНО-ТЕХНИЧЕСКОЕ ИЗДАТЕЛЬСТВО ЛИТЕРАТУРЫ ПО ГЕОЛОГИИ И ОХРАНЕ НЕДР МОСКВА 1961

# В. И. ДРОНОВ, Э. Я. ЛЕВЕН

X

## К ВОПРОСУ О ГЕОЛОГИИ ЮГО-ВОСТОЧНОГО ПАМИРА

Своеобразная в геологическом отношении область, называемая Юго-Восточным Памиром, охватывает бассейны рек Мургаб (Аксу) и Аличур. В общем структурном плане юга Средней Азии она является частью выделенной Н. А. Беляевским [2] Кара-Корумской зоны; И. Е. Губин относит к последней также и Центральный Памир.

Центральный Памир и Юго-Восточный Памир часто рассматривают как принадлежащие к одной структурно-фациальной зоне, поскольку в мезозое они служили областями накопления громадных толщ морских осадков [1, 3, 4, 15, 16]. Однако исследования последних лет показали, что эти области резко различны как по фациям и мощностям развитых в них одновозрастных отложений, так и по характеру тектоники и магматизма, а также по времени проявления фаз складчатости. Все это позволило нам вслед за И. Е. Губиным [6] и М. М. Кухтиковым [13] рассматривать Юго-Восточный Памир отдельно от Центрального, выделяя его в самостоятельную Мургаб-Аксуйскую структурно-фациальную зону, которая, по нашему мнению, так же как и Центральный Памир, является по отношению к Кара-Корумской зоне структурой второго порядка.

Мургаб-Аксуйская зона, начиная с нижней перми и до юры включительно, представляла собой прогиб северо-западного простирания, замыкавшийся, по-видимому, юго-западнее района Сарезского озера. Северная граница зоны проходила по Пшартскому глубинному разлому, выраженному в современной структуре линейновытянутыми вдоль него интрузиями; южная — очерчивалась полосой гранитов Ваханского хребта. Рассматриваемая зона на западе ограничивалась выходами гранитов, слагающих восточную часть Рушанского хребта, а на

востоке входила в пределы территории Китая.

Мургаб-Аксуйская зона разделяется нами на ряд подзон, отличающихся друг от друга по характеру стратиграфического разреза. Для перми и триаса выделяются три подзоны: Центральная, или Истыкская, Промежуточная и Окраинная. Центральная подзона узкой полосой располагалась в центре Мургаб-Аксуйского прогиба, протягиваясь более чем на 150 км от границы с Китаем на востоке до перевала Боз-Тере на западе. Промежуточная подзона в плане имела вид дуги, концы которой уходили в Китай; внутри этой дуги располагалась Центральная подзона. Окраинная подзона со всех сторон окаймляла Промежуточную, рисуя контуры Мургаб-Аксуйского прогиба (рис. 1). В результате предлейасовой складчатости были стерты различия между Промежуточной и Окраинной подзонами; Центральная подзона сохранялась примерно в тех же границах.

В нижне- и среднеюрское время симметрия в распределении фаций и мощностей осадков, развитых на южном и северном крыльях

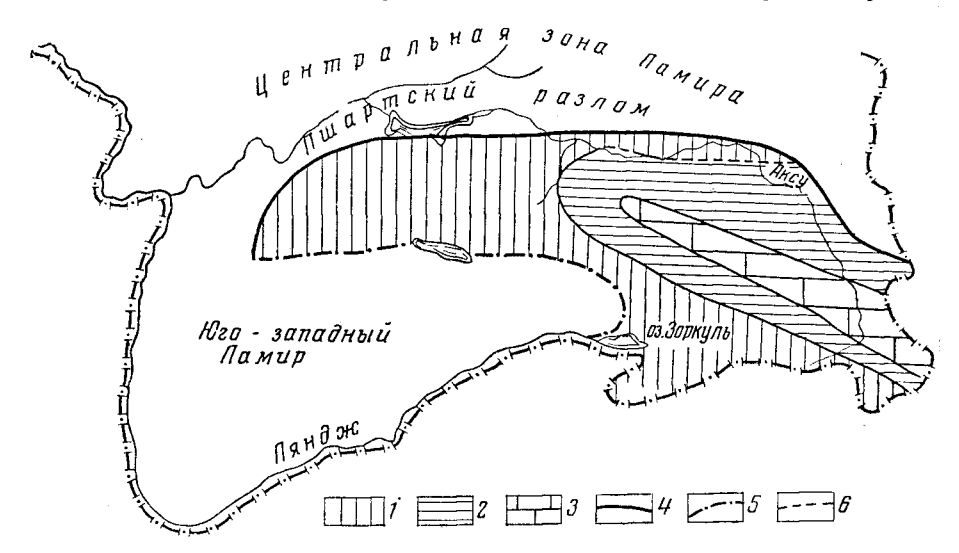


Рис. 1. Зональность территории Юго-Восточного Памира в пермотриасовое время t— Окраинная подзона, 2— Промежуточная подзона, 3— Центральная подзона, 4— Пшартский разлом, 5— условные границы зоны, 6— Мургабский надвиг

Мургаб-Аксуйской зоны, несколько нарушилась, и поэтому каждое крыло следует рассматривать как самостоятельную подзону. Так, Про-

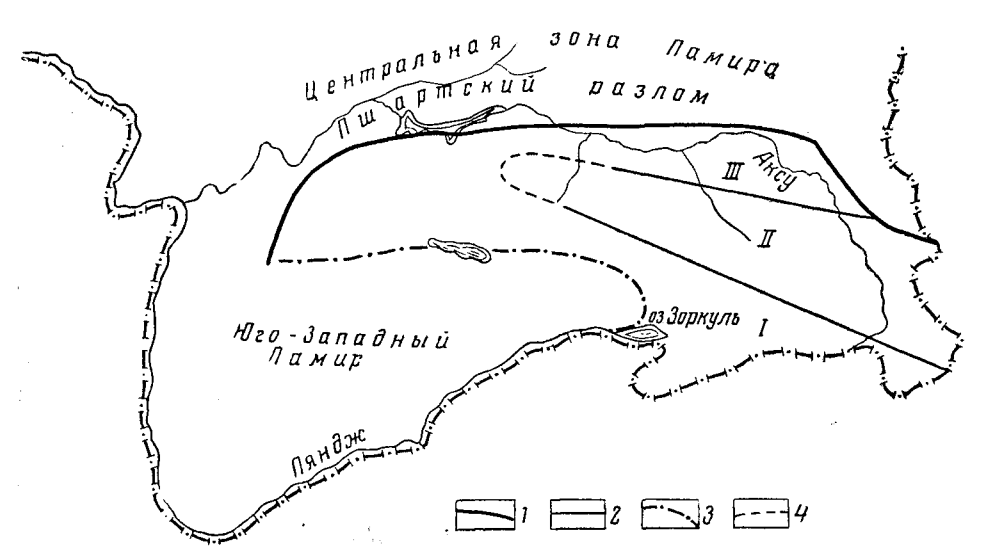


Рис. 2. Зональность территории Юго-Восточного Памира в нижне- и среднеюрское время

I — Пшартский разлом, 2 — границы подзон, 3 — условные границы зон, 4 — предполагаемые границы подзон, 1 — Гурумдинская подзона, 11 — Истыкская подзона, 111 — Мынхаджирская подзона

межуточная и Окраинная подзоны на южном крыле объединены в Гурумдинскую подзону, а на северном—в Мынхаджирскую. На западе эти подзоны, по-видимому, смыкались, так как в разрезах слагающих их отложений имеется наряду с различиями и много общего (рис. 2).

Верхнеюрские отложения располагаются в центре Мургаб-Аксуйского прогиба, перекрывая с угловым несогласием все более древние толщи.

В нижнем мелу вся территория Юго-Восточного Памира испытала

поднятие и уже никогда не опускалась ниже уровня моря.

Основы стратиграфии Юго-Восточного Памира были заложены в работах П. Д. Виноградова [11], Г. А. Дуткевича [8], М. А. Калмыковой [10], С. И. Клунникова [11, 12], Д. В. Наливкина [15], А. П. Недзвецкого и др. В послевоенные годы много новых данных по стратиграфии этой территории было получено в результате проведенных среднемасштабных геологосъемочных работ, в которых принимали участие Б. П. Бархатов, В. П. Булин, Ш. Ш. Деникаев, С. С. Карапетов, И. П. Юшина и др. Здесь также проводились и специальные тематические исследования по стратиграфии, которые выполнялись авторами, Т. Ф. Андреевой, М. С. Дюфур, Б. К. Кушлиным. Настоящая статья является краткой сводкой всех материалов по стратиграфии Юго-Восточного Памира.

# Карбон

К карбону условно относятся известняки и мраморы, обнажающиеся в бассейнах рек Б. Марджанай и Каинды (правый приток р. Мургаб). Известняки мощностью до 400 м сильно метаморфизованы расположенными рядом с ними гранитами; остатков фауны в них не найдено. Г. А. Дуткевич [8] и П. В. Ренгартен [18] к среднему и верхнему карбону отнесли сланцы, кварциты и мраморы, развитые в долине р. Мургаб в окрестностях г. Мургаб; нашими работами установлено, что за каменноугольные отложения они приняли метаморфизованные толщи перми и триаса [14].

# Пермь

Пермские отложения слагают большие пространства в пределах Базардаринского, Ваханского, Южно-Аличурского и Сарыкольского хребтов, а также широко развиты вдоль долины р. Мургаб (Аксу). Наиболее полные разрезы пермских отложений известны в Промежуточной подзоне, где они могут быть подразделены на пять свит (снизу вверх): базардаринскую — песчано-сланцевую, шиндыйскую — эффузивную, кубергандинскую — известняково-сланцевую, ганскую — известняково-кремнистую и карабелесскую туфогенную.

Базардаринская свита представлена толщей глинистых сланцев, алевролитов и песчаников мощностью более 1000 м. В самых верхах свиты в небольших прослоях известняков обнаружена фауна. Отсюда определены фузулиниды — Triticites sp., Parafusulina ex gr. ferganica M.-Maciay, Monodiexodina ex gr. wanneri (Schub.); брахиоподы — Cancrinella cancriniformis (Tschern.), Linoproductus aagardi (Toula), Dyctyoclostus aff. uralicus (Tschern.), Leiorhynchus ripheicus Step.; аммониты — Parapronorites timorensis Han., Agathiceras sundaicum Han., Perrinites schucherti (Toum.), Crimites pamiricus Toum., Popanoceras aff. hanieli Smith. Artinskia cf. artiensis (Grunew.) и др., а также кораллы, мшанки, пелециподы, гастроподы и криноидеи 1. Вся эта фауна указывает на то, что отложе-

 $<sup>^{\</sup>rm 1}$  Определения фузулинид произведены Э. Я. Левеном, брахиопод — Т. В. Машковой, аммонитов — В. Е. Руженцевым,

ния относятся к верхней половине нижней перми (верхи улукского горизонта) <sup>1</sup>.

Шиндыйская свита мощностью до 150 м сложена эффузивами диабазового состава и их туфами. В бассейне р. Шинды в эффузивах заключены небольшие желваки известняков с верхнеартинскими аммонитами Parapronorites timorensis Нап., Propinacoceras sp., Sicanites cf. insulacatum (Han.), Agathiceras sundaicum Han., A. (Gaetanoceras) martini Han., Eothinites sp., Metalegoceras ajaralensis Rush., Popanoceras sp.

Кубергандинская свита является стратотипом кубергандинского горизонта нижней перми и представлена детритусовыми известняками и сланцами; мощность ее от нескольких до 100—150 м. Известняки богаты микрофауной. Для низов свиты характерны: Neofusulinella lantenoisi Depr., Triticites contractus (Schellw. et Dyhr.), Pseudofusulina globosa (Schellw. et Dyhr.), P. chichsiaensis Lee, P. kraffti (Schellw. et Dyhr.), Parafusulina aff. japonica Gumb., P. bösei Dunb. et Sk., Brevaxina dyhrenfurthi (Dut.), Misellina parvicostata (Depr.).

В верхах свиты наиболее часто встречаются Parafusulina skinneri Dunb., P. sonorensis Dunb., P. imlay Dunb., Misellina claudiae (Depr.), Armenina karinae M.-Maclay, Cancellina primigena Hayden, Verbeekina verbeeki Gein., Pseudodoliolina sp. Последние четыре формы присутствуют в самой кровле свиты и характерны

уже для более высоких горизонтов перми.

Ганская свита состоит из четырех пачек: известняково-кремнистой, нижней фиолетово-зеленой кремнистой, конгломератовидных известняков и верхней фиолетово-зеленой кремнистой. Мощность свиты очень изменчива и колеблется от 20-30 до 120 м. Все четыре пачки хорошо охарактеризованы микрофауной. Руководящими для известняково-кремнистой пачки являются следующие формы: Verbeekina verbeeki Gein., Paraverbeekina ellipsoidalis (Chen), Neoschwagerina craticulifera Schwager, Afghanella cf. schecky Thomps, Sumatrina annae Volz. В нижней фиолетово-зеленой пачке встречены: Kahlerina ussurica (Sosn), Neoschwagerina simplex Ozawa, Afghanella sp.

Состав микрофауны конгломератовидных известняков имеет смешанный характер; здесь в переотложенном состоянии встречаются почти все формы из нижележащих горизонтов. Руководящими для этой части разреза являются Neoschwagerina colaniae Оzawa, N. margaritae Depr., N. cf. katoi Ozawa, Sumatrina longissima Depr. Ha основании указанной фауны перечисленные пачки отнесены к мургабскому горизонту верхней перми. Фауна верхней фиолетово-зеленой пачки принадлежит уже к памирскому горизонту верхней перми. Здесь наиболее характерны: Palaeofusulina sinensis Scheng, Codonofusiella schubertelloides Scheng, C. lui Scheng, Reichelina cf. pulchra K. M.-Maclay, R. cf. media K. M.-Maclay.

Карабелесская свита представлена туфогенными песчаниками, реже агломератами и туфосланцами; мощность ее непостоянна и достигает 150 м. В некоторых разрезах указанные отложения свиты отсутствуют, замещаясь кремнистыми сланцами и известняками. В линзах известняков среди туфосланцев обнаруживается микрофауна памирского горизонта: Colaniella parva (Colani), C. cylindrica K. M.-Maclay, Palaeofusulina sinensis Scheng, Codonofusiella

В настоящей работе принимается схема возрастного расчленения перми, выработанная в 1958 г. Ташкентским совещанием по унификации стратиграфических схем Средней Азин [19].

asiatica K. M.-Maclay, Reichelina cribroseptata Erk, R. cf. pulchra K. M.-Maclay, R. media K. M.-Maclay.

Общая мощность приведенного разреза нижней перми в промежуточной подзоне превышает 1000 м. Мощность верхней перми сильно колеблется и достигает 250—300 м.

Пермские отложения Промежуточной подзоны по направлению к окраинам Мургаб-Аксуйского прогиба постепенно (за исключением северной части района, осложненной мургабским надвигом) сменяются толщами, имеющими несколько иной тип разреза. В Окраинной подзоне нижне- и верхнепермские вулканогенные свиты (шиндыйская и карабелесская) отсутствуют, замещаясь соответственно сланцами, кремнями и известняками. Мощность верхней перми здесь не превыщает 20—30 м, а местами составляет всего 7—10 м. Разрезы подобного типа отмечены нами на севере района — вдоль долины Мургаб, на западе — в бассейне р. Бол. Марджанай и на юге — на северных склонах Ваханского и на южных склонах Памирского хребтов. В Центральной подзоне вулканогенные образования шиндыйской и карабелесской свит также отсутствуют. Верхняя пермь сложена здесь массивными известняками мошностью 40—50 м.

## Триас

Триасовые отложения повсюду согласно залегают на пермских и тесно связаны с ними в своем распространении. В разрезе триаса выделяются две свиты (снизу вверх): кобригенская — известняки и кремнистые сланцы и истыкская — песчаники и сланцы.

Кобригенская свита наиболее полно представлена в Промежуточной подзоне, где может быть разделена на две подсвиты: нижнекобригенскую — известняковую и верхнекобригенскую — известняковокремнистую. Нижнекобригенская подсвита охватывает по возрасту весь нижний триас и анизийский ярус среднего триаса. К нижнему триасу относятся темные плитчатые и конгломератовидные известняки и конгломераты. Последние имеют внутриформационный характер. В гальке и цементе этих конгломератов, а также в линзах оолитовых известняков собрана нижнетриасовая фауна: Eumorphotis venetiana (Hauer.), Entolium discites (Schl.), Velopecten albertii cf. (Goldf.), Anodontopora fassaensis (Wissm.), Myophoria laevigata Bitt., Flemingites sp. 1.

Отложения, отнесенные к анизийскому ярусу, представлены темными плитчатыми известняками. Определимой фауны известняки не содержат, и возраст их установлен по положению в разрезе: они залегают выше слоев с нижнетриасовой фауной и ниже горизонта с комплексом анизийско-ладинских пелеципод. Мощность нижнекобригенской подсвиты изменчива, но не превышает 50—70 м. Верхнекобригенская подсвита состоит из кремнистых сланцев, чередующихся с тонкими прослоями известняков. В большинстве разрезов сланцы разделены на две пачки горизонтом конгломератовидных известняков. Нижняя пачка содержит ладинскую фауну, представленную Daonella indica Bitt., D. pichleri Mojs., D. reticulata Mojs., Halobia vixaurita Kittl., Posidonia wengensis Wissm. Кроме того, в самом основании пачки встречены анизийские формы: Posidonia aff. pannonica Mojs., P. bosniaca Bitt., P. alta Mojs. В вышележащем горизонте конгломератовидных известняков определимой фауны не найдено. Верхняя, известняково-кремнистая пачка в большом количестве содержит кар-

<sup>1</sup> Определения фауны произведены Б. К. Кушлиным.

нийские пелециподы: Halobia pamirensis Kipar., H. suessi Mojs., H. charliana Mojs., H. styriaca Mojs., H. austriaca Mojs., H. comata Mojs., H. brachyotis Kittl. Мощность верхнекобригенской подсвиты варьирует от 40 до 90 м. Общая мощность кобригенской свиты 100-150 м.

В Окраїнной подзоне разрез кобригенской свиты характеризуется сокращенной мощностью  $(50-70\ m)$ , особенно это относится к нижне-кобригенской подсвите, мощность которой здесь всего  $5-15\ m$ .

В Центральной подзоне развит своеобразный разрез кобригенской свиты. Здесь верхнекобригенская подсвита замещена массивными рифовыми известняками (акташскими), мощность которых достигает нескольких сотен метров. Триасовый возраст акташских известняков впервые был установлен в 1937 г. П. Д. Виноградовым, который первоначально отнес их к карнийско-норийско-рэтским и сопоставил с истыкскими сланцами. В последней своей работе П. Д. Виноградов и Л. Д. Кипарисова [4] поместили акташские известняки стратиграфически выше истыкских сланцев, считая их только рэтскими.

Нашими работами установлено более широкое распространение акташских известняков и доказан их ладинско-норийский возраст. В нижних горизонтах известняков найдена ладинская фауна — Daonella reticulata Majs.; в средней и верхней части карнийская — Thisbites agricolae Mojs., Joannites cf. clipsteni Mojs., Paratrachiceras aff. thous Bittn., Halobia cf. cassiana Mojs., Gonodon mellingi Hauer, Megalodon aff. hoernesi Frech., Megalodon sp. и др.; близ кровли собраны многочисленные Monotis salinaria var. haueri (Kittl.) и редкие аммониты Paracladiscites timidus Mojs., P. timorensis Arth., относящиеся уже к норийскому ярусу.

Истыкская свита, согласно перекрывающая кобригенскую, сложена песчаниками и сланцами. В Промежуточной и Окраинной подзонах песчаники и сланцы фауны почти не содержат; лишь в их нижней части местами обнаруживаются норийские пелециподы: Halobia superbescens Kittl., H. fallax Mojs., H. plicosa Mojs., H. norica

Мој s. Мощность свиты в этих подзонах 700—1000 м.

В Центральной подзоне разрез свиты характеризуется сокращенной мощностью (300—400 м). Кроме сланцев и песчаников, здесь наблюдаются прослои известняков, из которых собраны: Monotis salinaria (S c h l o t h.), Astarte triasina R o e m., Placites aff. omphalus Mojs., Anatomites sp., Cladiscites cf. beyrichi Welter, Rhacophyllites debilis Hauer, Myophoria aff. inflata Emmr., Trigonia aff. zlambachiensis Haas., Homomya cf. rotaensis Desio, Cassianella aff. fragilis Desio, Gervilia cf. praecursor Quenst. В приведенном списке имеются как норийские, так и рэтские формы, что соответственно и определяет возраст свиты. Следует отметить, что С. И. Клунников и П. Д. Виноградов [11], опираясь на недостаточно полные списки фауны, определенной В. Ф. Пчелинцевым, относили верхи истыкской свиты к лейасу. Из сказанного выше следует, что данные этих исследователей не подтвердились.

# Юра

Юрские отложения в пределах Юго-Восточного Памира повсюду залегают с угловым несогласием на сложнодислоцированном пермотриасе. Отложения нижней и средней юры, подобно пермским и триасовым, неоднородны в различных частях рассматриваемой территории. Для этого времени выделяются три подзоны: Центральная, или Истыкская, Мынхаджирская и Гурумдинская. Непрерывный разрез отложе-

					Памир								
ма		Горизонт	Юго-Восточный	Центральный	Северный	Юго-Западный Дарваз	Северный Қавказ	Крым	Дальний Восток	Кара-корум	Южный Китай	Rиноп R	Северная Америки
Систе	Отдел		Э. Я. Левен, 1958 г.	Э. Я. Левен, 1959 г.	Э. Я. Левен, Е. Ф. Романько, 1959 г.	H. Г. Власов, 19 <b>58 г</b> .	К. В. Миклухо-Маклай, 1954 г.	О. Г. Туманская, 1947 г.	Унифицирован. схема, 1956 г.	Н. А. Беляевский, 1950 г.	Chen, 1956 r., Scheng, 1956 r.	Toriyama, 1958 r.	Dunbar, Skinner, 1937 r.
		Памирский	Карабелесская свита— туфопесчаники, известня- ки с Colaniella parva, Reichelina mirabilis, Co-		,		Абагская свита — извест- няки	Песчаники и сланцы без крупных фузулинид	I KOBA C MACCORNIMA LEDI	Барангская свита—сланцы, песчаники, конгломераты с Neoschwagerina, Sumatrina в нижней	Известняки Вучиапинг с Reichelina, Palaeofusuli- na, Codonofusiella.	Зона Yabeina—Lepidolina	Формация Очоа
			Reichelina mirabilis, Co- donofusiella aff. extensa		Баляндкинкская толща— известняки, песчаники, сланцы с Verbeekina ver- beeki, Neoschwagerina sp.,	Чапсайская свита— песчаники, порфириты, известняки с Pachyphloia sp., Reichelina sp.	Уруштенская свита — известняки, сланцы с Pachyphloia, Codonofusiella	Тотайский горизонт — известняки с Reichelina, Codonofusiella, Neoschwagerina, Palydiexodina	Зона Monodiexodina Misellina lettensis	части части			Формация Кэпитэн
	ий   				Afghanella sumatrinae- formis, Sumatrina annae, Polydiexodina ex gr. capi- tanensis	ee-	Никитинская свита — известняки с Colaniella parva, Reichelina mirabilis				Сланцы Вангпо	,	Polydiexodina capitanen- sis, Codonofusiella para- doxica
	верх		Ганская свита— извест- ияки, кремнистые сланцы	Известняки с Ра- chyphlaia sp., Nan-	. !						Известняки Маокоу с		
		Мургабский	с Verbeekina verbeeki, Neoschwagerina colaniae, Sumatrina annae; ввер- ху — Reichelina sp., Ра- laeofusulina sinensis	kinella sp., Milio- lidae			Кутангская свита — обломочные породы с Geinitzina, Palaeofusulina	Ординский горизонт — известняки с Verbeekina verbeeki, Neoschwagerina, Afghanella, Sumatrina, Polydiexodina	,	Известняки с Neo- schwagerina crati- culifera, N. colaniae	Verbeekina, Neoschwage- rina, Yabeina, Sumatrina	Зона Neoschwagerina — Verbeekina	
. Пермская		Кубергандинский	Кубергандинская свита— известняки, сланцы, с Parafusulina bosei, Misel- lina claudiae, Cancellina primigena	Калакташская сл	Караджилгинская тол- ща — слоистые и массив- ные рифовые известияки	IШакарсевская свита — песчаники, гипсы. Внизу известняки с Brevaxina dyhrenfurthi, Misellina laudiae  Иоллихарская свита — алевролиты, песчаники, конгломераты		Мартинский горизонт — известняки с Parafusu- lina, Verbeekina, Pseudo- doliolina	craticulifera, Misellin	Managrugey c Tri-	Известняки Чися с Pseudofusulina chihsiaen- sis, Parafusulina, Miselli- na claudiae	Подзона Parafusu- lina kaerimisensis	Формация Ворд Parafusulina bösei, P. ro- thi
	нижний					Гундаринская свитаизвестняки, пес- чаники, сланцы						arafusulina	
			Шиндыйская - свита — дна- базы, туфы		Зулумартская толща — эффузивы, лиизы рифо- генных известняков с Triticites contractus, Pse-	Сафетдаронская свита— известняки с Triticites contractus, Pseudofusuli- na globosa, Parafusulina japonica, Brevaxina dyh- renfurthi, Misellina parvi- costata				Свита чатыр — песчани- ки, известняки с Mono- diexodina ex. gr. wanneri.	Известняки Свайн с Tri- ticites truncatus, Pseudo- fusulina globosa Parafu- sulina japonica	Подзона Pseudofusulina ambiqua	Формация Леонард Pseudofusulina crassi- tectoria, Parafusulina
		<b>У</b> лукский	Базардаринская свита— сланцы, песчаники; ввер- ху известняки с Triticites sp., Monodiexodina ex. gr. wanneri.	Известняки с Triti- cites pseudosimplex Tr. kuanshanensis Parafusulina aff Kattaensis	udofusulina vulgaris, Pa- rafusulina sp.								
		Қарачатырский		Сарезская свита— слан- цы, песчаники	Кошджилгинская тол- ща — песчаники, сланцы	Себисургская сви- та — известняки с Schwangerina mo- elleri, Parafusulina pseudojaponica ки с Pseudofusu lina kraffti, Para	- -		Зона Pseudoschwageri vilgaris, Schwagerina gr. moelleri, Acerv schwagerina indolasa		Известняки Чуаншань с Triticites contractus, Schwagerina princeps, Pseudofusulina vulgaris	Зона Pseudoschwagerina	Формация Вольфкамп Triticites, Pseudoschwa- regina, Pseudofusulina

1.		Юго-Во	Памир ый	Центр	ральный	Северный	Северны	й Кавказ	Нахичеванская АССР	Мангышлак	Каракорум	Гималаи (Спити)	Тимор	Альпы				
		Промежуточная подзона		Центральная подзона	Бартанг-Пшартская подзона	я Рангкуль	Дарваз-Зааленская подзона	D. H. Doğum	1057									
Система	Ярус	В. И. Дронов, Б. К. Кушлин, 1959 г.		Э. Я. Левен, 1959 г.	П. Д. Виноградов, 1937 г., Б. К. Кушлин, 1959 г.	в, Н. Г. Власов, 1959 г.	— В. Н. Робинсон, 1957 г., Л. Д. Кипарисова, 1958 г.		Л. Д. Кипарисова, 1958 г.	Л. Д. Кипарисова, 1958 г.	Н. А. Беляевский, 1950 г.	Д. Вадиа, 1944 г., М. С. Кришнан, 1954 г.	. Крюмбек, 1921 г.	М. Жинью, 1952 г.				
		J <sub>1</sub>		$J_2$ bj	$J_1$		J <sub>1+2</sub>			J	1	J <sub>1</sub> (?)	J <sub>1+2</sub>					
	Рэтский	Вита	икская свита	Песчаники, сланцы, известняки с Myophoria aff. inflata, Homomya cf. rotaensis, Cassianella fragilis — Monotis salinaria, Rhacophyllites debilis, Paracladiscites aff. polydactilus	Бартангская сви- та — песчаники, сланцы с флорой верхнего триаса	· ?			c Rhaetina			Рифовые известняки с Megalodon	Рифовые известники с Megalodon ladakhen- sis, Dicerocardium hy- malayense	Известняки с Choristo- ceras, Pecten, Oxyloma	Песчаники, известняки с Pteria contorta, Megalodon			
Верхний	аский	Песчаники, сланцы. В основании Monotis salinaria, Halobia superbescens, H. fallax, H. pli-coa, H. norica	is salinaria, Halobia 5					Известняки, песчаники, известняки с Placites polidactilus исавіса	-		Известняки с Monotis salinaria	c Monotis salinaria.	Известняки с Cladiscites, Halorites, Pinacoceras, Monotis salinarum, H. distincta	Доломиты, известняки с Pinacoceras, Halorites, Cladiscites, Arcestes, Megalodon				
	Норийся			Рифовые известняки с Megalodon sp., Monotis salinaria, Halobia cf. cas- siana, Gonodon mellingi, Paracladiscites timidus,			Иокуньжская свита — песчаники, глины, кон- гломераты	раты	Слои с Ра- laeocardita									
ь	Карнийский	Кремнистые сланцы, известняки Вверху— Halobia austriaka, H. comata, H. charlyana					Thisbites agricolae, Mega-phyllites aff. jarbas		sphaerophyllus, Le-	lol	Сланцы, песчаники с На- lobia austriaca, Н. aff. superba			сланиы с Modiola gra-	, ки плато Лопсанга с Rhynchonella laucana, Halobia cordilleriana	c Tropites subbulatus,	subbulatus, Cladiscites,	Песчаники, мергели, известняки с Tropites subbulatis, Halobia austriaca
Триасова	адинский	Внизу — Daonella indica, D. reticulata, Halobia vi- xaurita, Posidonia wen- gensis	я свита	Кремпистые сланцы, и известняки с Daonella reticulata	Внизу — Claraia stachei, C. gries- bachi. C. aurita,	iophyllites aff. pi- tamaha, Sageceras sp.		cf. sphaerop nella mousso weng	Monophyllites hyllus, Dao- oni, Posidonia gensis		Карадианская свита— песчаники, сланцы с Anodontophora	c Mysisioptera cf. vix-	Известнячи с Daonella indica, D. lommeli.	Известняки с Trachyce- ras cf. aon, Daonella indica, Posidonia cf. wengensis	Песчаники, известняки с Trachyceras aon, Po- sidonia Wengensis, Dao- nella lammeli			
	Ла	ая сви	тенская					Сланцы, песчаники с Dao- nella sp.		Доломиты								
	Анизийский	Плитчатые известняки с Posidonia bosniaca, P. pannonica	Кобри	Известняки, конгломераты Leiophyllites (?) sp.		Внизу оолитовые известняки с Еи- morphotis cf. wene- tiana, Myophoria bachi. C. aurita C. aff. australia- tica, C. tridentina		Procladiscite Gumnites, Co	s. Sturia.	ные известняки с Меда	Песчаники, аргиллиты c Marmolatella, Brochi- dium, Eumorphotis ex gr. venetiana	Известняки	Известняки, сланцы с Rhynchonella gries- bachi, Sibirites prahlada, Keyserlingites dieneri	Известняки с Sturia, Japonites, Durgaites	Известняки, доломиты, сланцы с Ceratites trinodosus, Dadocrinus gracilus			
1жний	кий-оленекский	Известняки, конгломераты с Flemingites sp., Eumorphotis venetiana E. inaquicostata, Velopecten albertii, Anodontophora canalensis, Myophoria laevigata		ажнекобригенск		den, G. Brachenia	Аликагарская и васьми- кухская свиты — песча- ники, конгломераты, гли- ны, известняки с Eumor- photis multiformis, Muop- horia ovata, Anodonto- phora fassaensis, Meeko-	Pseudosageco auerita, C. min	c Owenites, eros, Claraia stachei, Flec- gites	Известняки с Eumorpho tis cf. albertii, Myop horia cf. ovata, Clarai auerita, Paratirolites Kaschmirites	Песчаники, сланцы, конгломераты с Eumorphotis inaequicostata, Claraia tridentian, Velopecten albertii, Doricranites bogdoanus, Tirolites cassianus, Kaschmirites sub-	Гравелиты, песчаники, известняки с Modiolopsis	c Claraia griesbachi, C. himaica, Hedenstro- emia moisisovicsi, Fle- mingites rohila, Meeco- ceras varaha, Otoceras	nites. Flemingites. Mee-	c Tirolites cassianus, Claraia clarai, C. aurita.			
	Индсі	Ť		工			ceras sp., Doricranites sp.	Песчанисты	е известняки конгломераты		dimorphus		woodwardi					
	<u>'</u>	P <sub>2</sub>	-	P <sub>2</sub>	P	,	$P_2$	-	P <sub>2</sub>	P <sub>2</sub>	P <sub>2</sub> .	P	P <sub>2</sub>					

_									
Схема	сопоставления	юрских	отложений	Памира	u	пругих	районов	Тетиса	

		7	7		Па	мир	TOP TOP TOP TO THE TOT	ений Памира и других районов Тети	l a			
				Юго-Восточный			Центральный	Северный Кавказ	Большой Балхан	Каракорум	Kan (Kuich)	
ема	5		ярус	Гурумдинская подзона	Истыкская подзона	Мынхаджирская подзона	Бартанг-Пшартская подзона					
Систе	Отдел	Ярус	Подт		В. И. Дронов, Т. Ф	P. Андреева, 1959 г.		Г. Я. Крымгольц, 1958 г.	Г. Я. Крымгольц, 1958 г.	Н. А. Беляевский, 1950 г.	М. С. Кришнан, 1954 г.	
					Мел — палеогеновые осадо	очно-вулканогенные толици		Известняки с Phaneroptyxis staszy- evi, Aviculoperna caucasica, Areomy- tilus subpectanatus, Aspidoceras pe- rarmatum	Известняки. В основании Perisphinctes varthae	Известняки Perisphinetes densiplicatus	Свита Умна (Umia) и Кетрал (Katrol)	
		оксфорд-		Учджилгинская свита— светл pronus, Phylloceras calypso , suprajurense, Aequipecten sok	ые массивные известняки Areomytilus pectinatus, Pho colovi, A. fibrosus, A. fibro costatus	c Spiticeras (Proniceras) cf. oladomya hemicardia, Diceras osodichofomus, A. subinaequi-	Язгулемская свита — известняки с Aequipecten fibrosus, A. fibrosodichotomus, Chlamys nattheimensis	rarmatum		Ctenostreon proboscideum, Spondylo- pecten cf. bouchardi Perisphinctes cf. furcula, P. cf. chofati		
	Верхний	вей	средн. верхн.	Кокчагинская свита— известн latus, Hecticoceras lunuloides I.	яки, мергелистые и глинисті , Reineckeites reissi, R. га cf. rusticus, Kepplerites s	ые сланцы. Phlycticeras pustu- vana, Indosphinctes urbanus, p.		Песчаники, известняки, конгломераты, мергели с Quenstedticeras lamberti, Cosmoceras jason, Macrocephalites macrocephalus	Песчаники, известняки Erymnoceras caronatum, Macrocephalites macrocephalus		Свита Чари (Chari) Taramel licars jumarense, Peltocera athleta Reineckia rehmani	
		келловей		Зоуташская базальная свита — красноцветные песчаники, конгломераты								
			нижний		Кунтейская свита — сланцы, песчаники					Базальные песчаники, конгломераты	Macrocephalites macrocephalus	
		óar		Известняки, мергели, сланцы с Posidonia buchi	Дункельдыкская свита— известняки с Aequipec- ten subfibrosus, A. fib- rosus, A. cf.	Известняки, мергелистые слан- цы с Lima tumida, Inoperna sowerbyi.	Macrocephalites ex. gr. triangularis, Pholadomya ovulum, Astarte minima					
		Ų	верхн.	Известняки с Parkinsonia su- bariotis, Strenoceras bajocen- se, Stephanoceras deslong-	Известняки, вверху мер- гелистые сланцы	известняки с Parkinsonia subarietis, Kubanoceras sp.  Джарутекская свита— сланцы, песчаники, известняки с Sphaeroceras ex. gr. brongniarti, Darellella recticostata, Ludwigio sp., Dumortieria tabulata		Глины, мергели, алевролиты с Орре- lia fusca, Pseudosmoceras michais- kii		Известняки, сланцы с Garantiana cf. bathonica, Perisphinctes aff. moorei	Свита Петчам (Patcham).  Macrocephalites  triangularis	
ская	Средний	байос	нижн.	schampsi Кокбелесская свита— песча- ники, сланцы, известняки с Witschellia sp.	Караулдынская базальная свита — красноцветные песчаники, конгломераты		Кокуйбельская свита— пестроцветные песча- ники, сланцы, извест- и няки с Astarte pulla	Слои с Parkinsonia parkinsoni, Garantiana garantiana, Stephanoceras humphriesianum, Witchellia romani	Сланцы, песчаники с Parkinsonia do- neziana, Opperia praeradiata	Известняки, сланцы с Variamussium pumilus, Camptonectes cf. aratus, C. lens		
Юрс			верхн.	Седекская свита— известняки с Fontannesia curvata. Lud-				Слои с Ludwigia concava, L. mur- chisonae				
		аален	нижн.	wigella ex. gr. rugosa. Dumor- tieria explanata Grammaoce- ras Porpoceras subarmatum, Dactilioceras sp.				Слон с Lioceras apalinum, Dumortie- ria sp.				
		0ap	Arieticeras cf. algovianum Отсутствуют Мынхаджирская стняки с Lima			Pholadomya foliocea, Pleuromia uniodes	Grammoceras toorciense					
					Мынхаджирская свита — изве- стняки с Lima ex. gr. fallax		Porpoceras subarmatum Конгломераты, сланцы, эффузивы	Не вскрыты	Неизвестны	Отсутствуют		
	Нижний	р домер		Vermiceras cf. spiratissimmum			Сланцы, песчаники, конгломераты с Amaltheus margaritatus, Beaniceras costatum, Oxynoticeras oxinatum		• .			
	Ни	синемюр		Гурумдинская свита— известняки с Cardinia cf. elliptica, С. cf. hibridus		Plagiostoma cf. compressa			·			
		геттанг		Дарбазаташская базальная свита— песчаники, конгломераты		Кызылбелесская базальная свита— песчаники, конгломе- раты						
				P — T	P — T	P — T	T <sub>3</sub>	T	,	T (?)	Pem	
				12	2 3.							

ний нижней и средней юры (лейас — доггер) развит в Гурумдинской и Мынхаджирской подзонах: на северном склоне Ваханского хребта, в Салангурской впадине, в бассейне р. Гурумды, в устье р. Баш-Гумбез и по южному склону Базардаринского хребта. В Гурумдинской подзоне лейасовые отложения могут быть подразделены на три свиты

(снизу вверх): дарбазаташскую, гурумдинскую и седекскую 1.

Дарбазаташская свита представлена толщей красноцветных и зеленых песчаников и конгломератов, местами с примесью туфогенного материала. Свита залегает на размытой поверхности складчатого пермотриаса и согласно покрывается известняками гурумдинской свиты. Мощность ее колеблется от 20 до 200—250 м. По южному склону массива Дарбаза-Таш (бассейн р. Гурумды) в верхней части свиты имеются линзы известняков с нижнелейасовыми Cardinia sp.

Гурумдинская свита представлена внизу темными и серыми грубослоистыми, вверху— светлыми массивными обломочно-детритусовыми известняками. Фаунистически свита охарактеризована слабо; редкие пелециподы принадлежат к нижнему лейасу и представлены Cardinia cf. elliptica Quenst., C. cf. hibridus Quenst., Pachyrisma aff. chamaeforme Schloth. и др. Мощность свиты от 60 до 200 м.

Седекская свита представлена черными глинистыми известняками мощностью 80-300 м. Эта свита фаунистически хорошо охарактеризована; из различных ее горизонтов собраны синемюрские, плинсбахские, домерские, тоарские и ааленские аммониты и брахиоподы. В нижней четверти свиты найден синемюрский Vermiceras cf. (Quenst.), выше собраны плинсбах-домерские браspiratissimum хиоподы—Terebratula curviceps Quenst., Lobothyris punctata (Sow.) и домерский аммонит — Arieticeras cf. algovianum (Орре1); ближе к верхней трети свиты найдены тоарские Porpoceras subarmatus Jaung et Bird, Dactilioceras sp., Grammoceras ex gr. quadratum Haug., G. toarciense (d'Orb.), Hammatoceras insigne (Schuble), H. cf. pugnax Vacek, Dumortieria explanata Вис.; в верхах свиты обнаружены ааленские аммониты: Catulloceras cf. insignesimile Brauns., Litoceras ex gr. quadrisulcatus d'Orb., Pseudolioceras ex gr. lytense Joaung et Bird, Ludwigella ex gr. rugosa Buckm., Fontannesia curvata Buckm.

Таким образом, граница между отложениями нижней и средней юры на Юго-Восточном Памире литологически не отбивается; она проходит где-то внутри седекских известняков, выше которых залегают отложения байоса.

В Гурумдинской подзоне байос представлен песчаниками, сланцами и известняками, в которых имеется фауна, позволяющая различать здесь нижний и верхний байос. Нижний байос сложен глинистыми и алевролитистыми сланцами и песчаниками с горизонтами органогенных обломочно-детритусовых известняков (кокбелесская свита). В верхней половине толщи собрана фауна пелеципод: Hinnites cf. villatus Goldf., Trigonia cf. formosa Lyc., Cuculaea cf. subdecostata Munst., Posidonia buchi Roem., Entolium demissum (Phill.) и аммонитов: Witchelia sp., Dorsetensia cf. regrediens Наи g. и др. Мощность отложений нижнего байоса колеблется от 80—100 до 300—350 м. Верхний байос представлен темными известняками мощностью 60—120 м с мно-

Седекская свита включает также ааленский ярус средней юры.
 Определения пелеципод производились Л. В. Сибиряковой и Т. Ф. Андреевой, аммонитов — Г. Я. Крымгольцем и В. И. Дроновым, брахнопод — В. П. Макридиным и С. А. Мельниковой.

гочисленными остатками аммонитов: Stephanoceras deslongschampsi Defr., Strenoceras bajocense Defr., Garantiana sp., Parkinsonia parkinsoni Sow., P. planulata Quenst., P. subarietis Wetz., P. cf. orbigniana Wetz., P. acris Wetz., P. cf. depressa Quenst., Wermisphinctes wermiformis Buckm., Oppelia subradiata Sow. Sphaeroceras globus Buckm.

К бату относится толща мергелей, мергелистых и глинистых сланцев и известняков мощностью 150—200 м. Мергели содержат многочисленные скопления Posidonia buchi Roem., Entolium demissum (Phil.), E. spathulatum (Roem.), Inoperna sowerbyi d'Orb., Peri-

sphinctes sp., Reineckia sp.

В Мынхаджирской подзоне, в отличие от Гурумдинской, нижняя юра литологически делится только на две свиты: кызылбелесскую и

мынхаджирскую.

Кызылбелесская свита представлена красноцветными песчаниками и конгломератами, начинающими юрский трансгрессивный комплекс. Максимальная мощность свиты 40 м; иногда она отсутствует. Фауны красноцветы не содержат, и нижнелейасовый возраст их определяется условно, по согласному залеганию на известняках с геттангсинемюрской фауной.

Мынхаджирская свита сложена темными известняками, в нижней своей части содержащими геттанг-синемюрскую фауну Plagiostoma cf. compressa Terquem. Мощность ee 60-100 м. На известняках мынхаджирской свиты согласно залегает толща темных глинистых сланцев с горизонтами песчаников и псевдоолитовых известняков (джарутекская свита). В известняковых прослоях содержится ааленская фауна: Chlamys meriane Grepp., Chl. textoria Schloth., Inoperna sowerbyi d'Orb., Dumortieria tabulata Buckm. Crammoceras sp., Ludigia sp., Darellella ex gr. recticostata Вискт. В самых верхах свиты найден Sphaeroceras ex gr. brongniarti (Sow.), относяшийся уже к нижнему байосу. Верхний байос представлен известняками: внизу серыми грубослоистыми с желваками кремней; вверху темными среднеслоистыми. Темные известняки содержат фауну: Pholadomya cf., reticulata Ag., Entolium demissum (Phill), Goniomya cf. proboscidea Ag., Posidonia buchi Roem., Parkinsonia densiocosta Quenst., P. subarietis Wetz., P. cf. acris Wetz., Oppelia cf. subradiala Sow., Kubanoceras sp. и др. Общая мощность верхнебайосских известняков 180—200 м.

Батский ярус в массиве Мын-Хаджир представлен толщей зеленовато-желтых мергелей и мергелистых сланцев, мощностью 60—80 м, согласно перекрывающих верхнебайосские известняки. В толще собрана следующая фауна пелеципод: Trigonia ex gr. montierensis Lyc., Entolium spathulatum Roem., Camptochlamys woodwardii Mor. et Lyc. и др. Разрез юры в пределах этого массива заканчивается серыми грубослоистыми трещиноватыми ожелезненными известняками с Іпорегпа sowerbyi d'Orb., Lima cf. tumida Roem. и др. Мощность этих известняков равна 40 м.

В Истыкской подзоне юрский разрез резко отличается от двух предыдущих. Принципиальным отличием его является отсутствие осадков лейаса и ааленского яруса средней юры. Отложения байосского яруса залегают здесь трансгрессивно на складчатом пермотриасе. Разрез начинается базальной свитой красноцветных песчаников и конгломератов, именуемой караулдынской. Мощность ее 20—40 м. Выше следуют темные и серые средне- и грубослоистые известняки с незначительными прослоями мергелистых и глинистых сланцев. Последние местами отсутствуют. В верхней части известняки содержат верхнебайосскую

фауну: Stephanoceras humpriesianum Sow., Ancyloceras sp., Parkinsonia sp., Chlamys cf. dewalquei Oppel, Lima milleri Grepp., Alectrionia cf. osselus Meriae. Мощность байосских отложений от 60 до 300 м. Батский ярус представлен толщей равномерно чередующихся глинистых и мергелистых известняков и мергелей мощностью 200—400 м. Фаунистически эта часть разреза охарактеризована хорошо. Из аммонитов можно привести следующие формы: Cadomites ex gr. daubenyi Hemmel, Hecticoceras recticostatum Gross., H. haugi Popov—Hatz., H. primaevum Oppel, Gracilisphinctes fusciacensis (Liss.), Perisphinctes mooreyi Oppel. и др.

Выше этих отложений согласно залегают массивные известняки мощностью от 200 до 400 м, содержащие большое количество фауны келловея: Heimia planiconirka (Kitchin.), Camptonectes cf. lens (Sow.), Aequipecten sp., Hecticoceras sp., Reineckia sp., Perisphinctes

sp., Hibolites cf. latensulcatus Volt.

Изучая разрезы нижней и средней юры Юго-Восточного Памира, можно видеть, что непрерывный переход отложений бата наблюдается только к низам нижнего келловея. Более высокие горизонты келловея залегают с резкими угловыми несогласиями, образовавшимися в результате складчатости. Фаза складчатости, создав эти несогласия, привела и к некоторой перестройке всей Мургаб-Аксуйской зоны. Верхнеюрские отложения перекрыли ранее существовавшие границы между подзонами; на всей территории описываемого района они имеют примерно одинаковый тип разреза. Верхнеюрские отложения распространены преимущественно в центральной части Мургаб-Аксуйского прогиба, слагая большие площади в бассейнах рек Истык и Карасу. В толще верхней юры нами выделяются три свиты: зоуташская, кокчатинская и учджилгинская.

Зоуташская базальная свита сложена красноцветными песча-

никами и конгломератами мощностью до 60—80 м.

В долине р. Куртеке среди красноцветов имеются прослои углистых известняков и углей, из которых была определена верхнеюрская спора и пыльца растений [7]. Следует отметить, что ранее куртекинские угли П. Д. Виноградовым и Н. Н. Ошурковым относились к пермо-

триасу [5].

Кокчагинская свита согласно сменяет зоуташскую и представлена толщей черных и серых слоистых известняков, в верхах которой местами развиты зеленые мергели и мергелистые сланцы с прослоями глинистых известняков. Общая мощность толщи 200—350 м. Свита содержит многочисленную фауну келловейского яруса: Aequipecten cf. subinaequicostatus K a s., A. cf. fibrosodichotomus K a s., Ceratomya plicata Ag., Pholadomya murchisoni Sow., Indosphinctes urbanus Spath., In. peregrinus Spath., Hecticoceras metomphalum Bon., H. lunuloides Kil., Phlycticeras pactulatus (Ren.).

Учджилгинская свита сложена светлыми рифовыми известняками мощностью 400—600 м. В нижней ее части имеется фауна келловей-оксфордского возраста: Aequipecten cf. sokolowi Вогіз., Ostrea sandalina Goldf., Camptonectes ex gr. sonaris Eichw., Pholadomya hemicardia Roem., Arcomytylus pectinatus Sow. и др. Верхняя возрастная граница свиты не ясна. По-видимому, из верхних горизонтов этой свиты С. И. Клунниковым и А. П. Недзвецким [11] собрана фауна титонских аммонитов: Phylloceras calipso d'Orb., Spiticeras (Proniceras) cf. pronus Retow., S. (Pr.) glacile Djan.

В литературе [18] имеются указания на находки в хр. Зоу-Таш и в массиве Мын-Хаджир в известняково-мергелистой толще валанжинской фауны аммонитов и пелеципод. Нашими исследованиями эти дан-

ные не подтвердились. В массиве Мын-Ханджир слои, охарактеризованные В. П. Ренгартеном как валанжинские, содержат ааленскую фауну, список которой был приведен при характеристике среднеюрских отложений Мынхаджирской подзоны, и относятся к джарутекской свите. В разрезе хребта Зоу-Таш самыми молодыми отложениями являются келловейские, разрез которых в западной части представляется следующим: на базальной зоуташской свите лежат темные и серые слоистые известняки (300—400 м) с Hecticoceras metomphalum В о паг, перекрываемые зеленовато-желтыми мергелями (70 м); выше следуют серые известняки-ракушечники (25—30 м). Во всех трех пачках нами в 1959 г. собрана келловейская фауна аммонитов и пелеципод. Таким образом, валанжинский возраст верхов этого разреза здесьне подтверждается.

#### Мел

К мелу нами условно (фауна в этих отложениях не найдена) относится толща красноцветных песчаников и конгломератов, переходящих кверху в известняки, развитая на водоразделе рек Шинды и Ак-Ширяк. В пользу их мелового возраста говорит некоторое сходствос отложениями мела Центрального Памира, а также отсутствие подобных толщ в разрезе перми, триаса и юры на Юго-Восточном Памире. Меловые (?) отложения полого залегают на сложнодислоцированных толщах перми и триаса и имеют мощность 300—400 м.

#### Мел — палеоген

К этому возрасту условно относится вулканогенная толща (тешикташская), развитая в Кызылрабатском районе и в бассейне р. Бахмал-Джилга. Толща сложена эффузивными преимущественно андезитового. дацитового и липаритового состава; в основании часто встречается горизонт туфов и конгломератов. Мощность ее несколько сотен метров. До настоящего времени тешикташские эффузивы Кызылрабатского района рассматривались как средне- или верхнеюрские [11]. Эффузивы Бахмал-Джилги Г. А. Дуткевичем [10] ошибочно принимались за нижнеюрские. В ряде мест на юге района нами установлено налегание тешикташской толщи на фаунистические охарактеризованные отложения верхней юры. В районе Бахмал-Джилги эффузивы также не могут считаться древнее средней юры, так как перекрывают известняки седекской свиты. Таким образом возраст тешикташской толщи устанавливается как послеюрский; некоторые косвенные данные позволяют относить ее к верхам мела или к палеогену. Возможна коррелятность тешикташской толщи и эффузивных толщ Центрального Памира (Бартанг, Танымас). Возраст же последних устанавливается нами как послесенонский.

На тешикташской вулканогенной толще в Кызылрабатском районележат красноцветные песчаники, глины, конгломераты, туфопесчаники и туфоконгломераты, объединяемые в кызылрабатскую толщу. Мощность толщи 300—400 м.

#### Неоген

Впервые неогеновые отложения под названием «куртекинской толщи» были выделены в долине Караулдын-Дала и на перевале Куртеке [15]. Нами отложения этой толщи обнаружены во многих долинах Юго-Восточного Памира. Куртекинская толща повсюду представлена красноцветными песчаниками и крупнообломочными конгломератами:

со слабосцементированной и неотсортированной галькой. Красноцветы всюду залегают в виде небольших «нашлепок» на более древних отложениях, включая верхнеюрские, или прислонены к бортам долин. Мощность их местами превышает 100 м. К неогену куртекинская толща относится условно, по следующим признакам: а) слабая дислоцированность пород; б) залегание выше всех толщ, принимающих участие в строении Юго-Восточного Памира; в) характерная форма залегания—прилегание к бортам долин; г) рыхлость пород.

# Неоген-четвертичные отложения

К этому возрасту условно относится толща бахмалджилгинских тиллитоподобных конгломератов, которые очень напоминают моренные образования и состоят из валунов гранитов и метаморфических пород, сцементированных грубозернистыми аркозовыми песчаниками. Слоистость в них выражена слабо или отсутствует; мощность измеряется сотнями метров.

С. И. Клунников [12] считал их третичными по аналогии с конгломератами Кой-Бая, где были обнаружены растительные остатки, определенные А. Н. Криштофовичем как Andromeda sp., Vaccinium sp. третично-четвертичного возраста. Г. А. Дуткевич и М. А. Калмыкова [16] относили бахмалджилгинские конгломераты к четвертичным образованиям.

# История геологического развития

Основные черты истории геологического развития рассматриваемой территории нам представляются следующими.

Мургаб-Аксуйская зона является крупной конседиментационной структурой, в пределах которой в различное время появлялись, развивались и отмирали более мелкие структуры второго порядка, третьего порядка и т. д. Обособление Мургаб-Аксуйской зоны произошло лишь во второй половине нижней перми. До этого времени территория Юго-Восточного Памира, как и большая часть всего Памира, испытывала значительные опускания и служила местом накопления мощных толщ терригенных осадков. Начиная с верхов нижней перми, нисходящие движения сменились незначительными колебательными, в результате которых то один, то другой участок донной поверхности попадал в зону размыва. Такие участки характеризуются незначительной мощностью осадков, а также их пестротой и изменчивостью. Анализ мощностей показывает, что Мургаб-Аксуйская зона представляла в то время пологий, замыкающийся на западе прогиб со слегка приподнятой осевой частью (Центральная подзона). В наиболее глубоких частях прогиба, окаймляющих центральное поднятие, в конце нижней и верхней перми происходили излияния диабазов (рис. 3).

С моментом обособления Мургаб-Аксуйской зоны, возможно, связано заложение Пшартского разлома, который существовал вплоть до нижнего мела, когда по этому разлому поднялась гранитиая магма. Значительная протяженность разлома, его положение на границе двух структурно-фациальных зон, длительное время существования, а также значительная глубина заложения — все это позволяет относить его к категории глубинных, или краевых. В современной структуре этот разлом выражен зоной дробления и полосой линейновытянутых интрузий. Пшартский разлом ограничивал зону с севера. Южная граница зоны не ясна; но, по-видимому, она также имела характер разлома, по которому позже внедрялась магма, образовавшая ваханские граниты.

Геологическая обстановка верхнепермского времени на Юго-Восточном Памире продолжала существовать в нижнем и среднем триасе. В начале верхнего триаса Центральная подзона явилась местом интенсивного рифообразования. Быстрый рост рифов, мощность которых достигала многих сотен метров, свидетельствует о быстром компенсирующем опускании центральной части зоны.

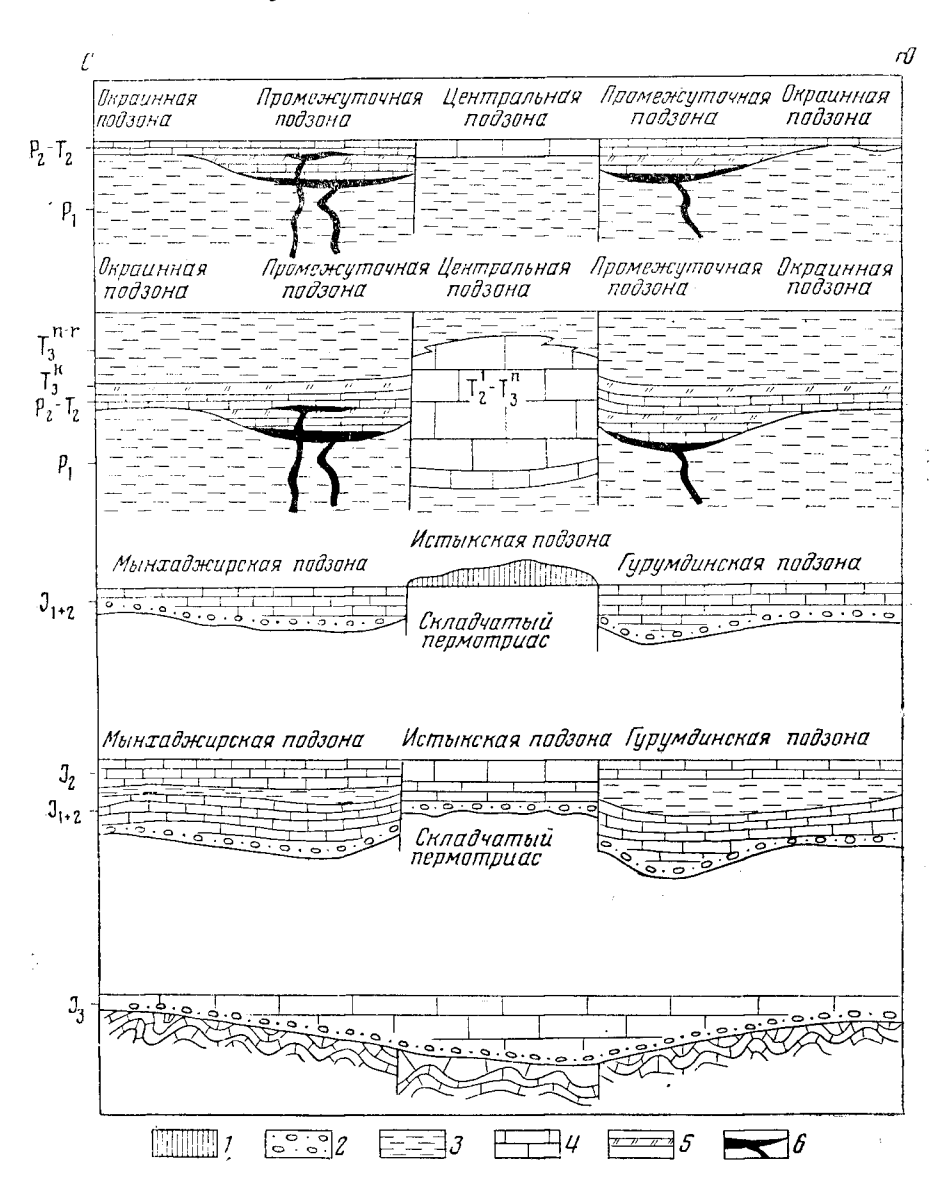
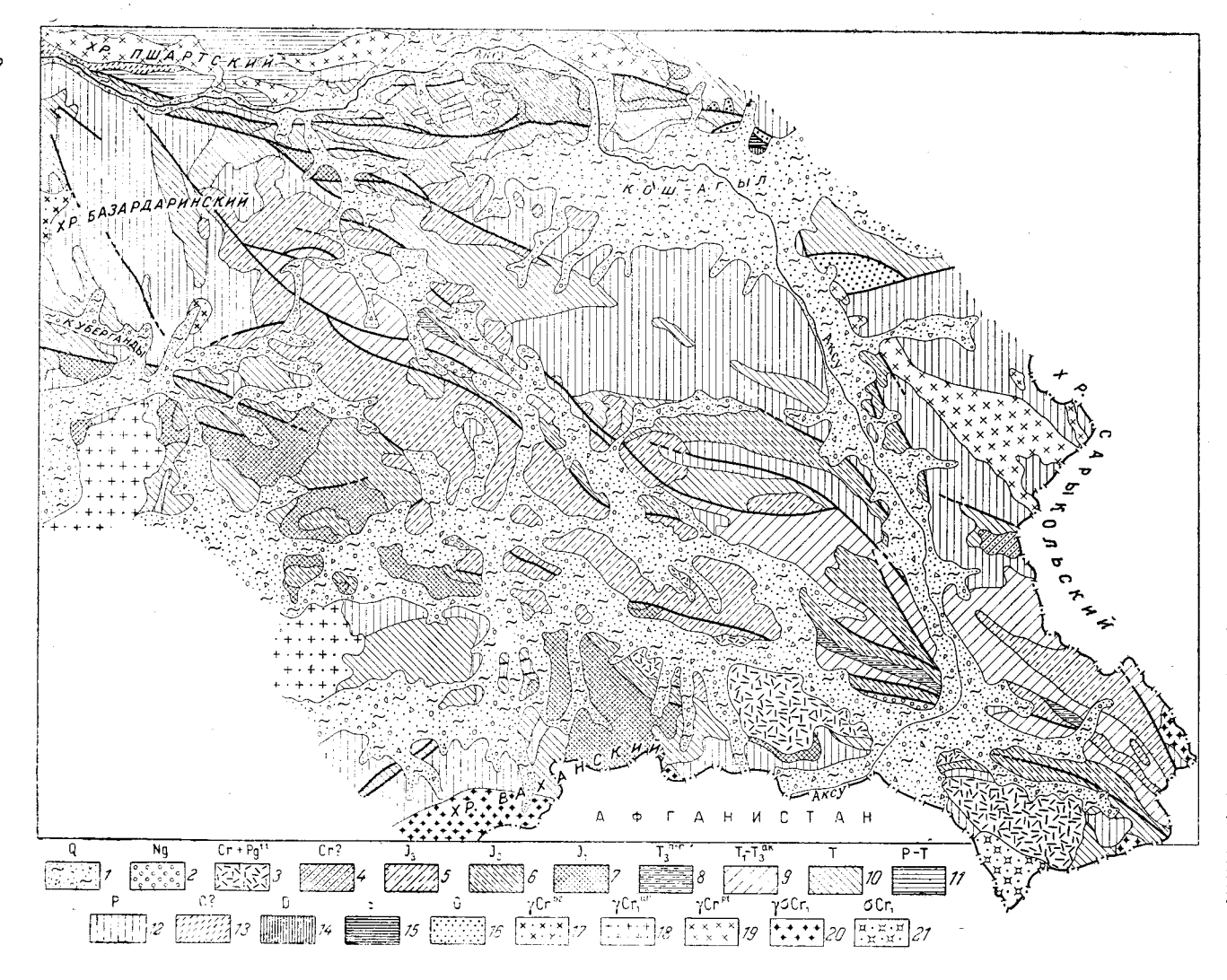


Рис. 3. Схематические структурно-фациальные профили через Юго-Восточный Памир 1— область поднятий, 2— конгломераты и песчаники, 3— сланцы, 4— известняки, 5— кремнистые сланцы, 6— диабазы

В норийское и рэтское время на Юго-Восточном Памире, так же как и в Центральном, накапливались мощные песчано-сланцевые толщи. Некоторые различия в облике верхнетриасовых толщ этих зон и



#### Рис. 4. Геологическая карта Юго-Восточного Памира

1 - четвертичные отложения (преимущественно аллювиальные, пролювиальные и ледниковые); 2 неогеновые отложения - конгломераты, песчаники: 3 - меловые и палеогеновые отложения перазделенные (тешикташская и кызылрабатская толщи); 4 -- меловые (?) отложения - песчаники, конгломераты: 5 — верхнеюрские отложения - известняки, конгломераты: 6 -- среднеюрские отложения - известняки, сланцы, конгломераты; 7 - нижнеюрские отложения — известняки, конгломераты: 8 — верхнетриасовые отложения. норийский и рэтский ярусы — сланцы, известняки (Центральная подзона): 9 — нижний, средний и карнийский ярус верхнего триаса известняки (Центральная подзона); 10 — триасовые отложения—известняки, кремнистые и глинистые сланцы: 11 — пермотриасовые отложения неразделенные - сланцы, кварциты, эффузивы; 12 — пермские отложения - известняки, кремнистые и глинистые сланцы, эффузивы, туфы; 13 - каменноугольные (?) отложения — известняки; 14 — девонские отложения — песчаники; 15 — силурийские отложения известняки, песчаники; 16 — ордовикские отложения -- сланцы песчаники; 17 — биотитовые и двуслюдистые граниты Базардаринского хребта; 18 — микроклиновые порфировидные граниты Уртабуза и Башгумбеза; 19 — порфировидные граниты пшартского типа: 20-гранодиориты, монцониты, граноснениты ваханского типа: 21 - кварцевые диориты гранодиориты

в составе органических остатков указывают на то, что они оставались

обособленными и на активность Пшартского разлома.

На границе с лейасом произошла смена верхнетриасовых опусканий быстрыми поднятиями и складчатостью, но уже в начале лейаса большая часть зоны снова испытывала погружение. Поднятием продолжала оставаться лишь Истыкская подзона, которая стала опускаться лишь в байосе, причем ее опускание проходило неравномерно, в результате чего в различных участках подзоны разрез юры начинается различными горизонтами байоса.

В низах нижнего келловея Юго-Восточный Памир испытывает поднятие и подвергается складчатости, но уже в середине нижнего кел-

ловея эта территория вновь начинает медленно прогибаться.

В связи с поднятием, охватившим весь Памир в конце юры или в начале мела (каракорумская фаза складчатости), Мургаб-Аксуйская зона была выведена из области осадконакопления. Этот процесс сопровождался интрузиями, происходившими по периферии зоны. С этого времени Юго-Восточный Памир вступил в качественно новый этап сво-

его развития.

Восстановить послеюрскую историю описываемой территории в настоящее время не представляется возможным, так как молодые отложения здесь почти отсутствуют. В сопредельных районах верхнемеловое время ознаменовалось трансгрессией моря, после чего в палеогене происходило горообразование, сопровождавшееся проявлениями вулканизма и интрузивной деятельности. На Юго-Восточном Памире в это время, по-видимому, происходило накопление мощных толщ тешикташских эффузивов. В результате палеогеновых и неогеновых движений Памир был оформлен как высокогорная страна, поднятая на тысячи метров над уровнем моря.

В. П. Ренгартеном [18] для Юго-Восточного Памира выделена пфальцекая, лабинская и истыкская фазы складчатости. Выделение первых двух фаз основывалось на представлениях о трансгрессивном залсгании верхнего триаса на отложениях перми. Сейчас, когда установлена непрерывность разреза от нижней перми до верхнего триаса

включительно, необходимость выделения этих фаз отпадает.

Истыкская фаза выделялась В. П. Ренгартеном на том основании, что байос залегает на складчатом пермотриасе. Нашими работами доказано, что в большинстве районов Юго-Восточного Памира разрез от лейаса до бата включительно непрерывен; указания же В. П. Ренгартена относятся только к Истыкской подзоне. Выпадение здесь из разреза отложений лейаса объясняется не размывом их в результате истыкской складчатости, а, скорее всего, тем, что со времени предлейасовой складчатости здесь существовало устойчивое поднятие, начавшее прогибаться лишь в байосе.

Таким образом, в разрезе Юго-Восточного Памира отчетливо выделяются четыре поверхности несогласия, которые делят разрез на пятьструктурных ярусов; первый составляют сложнодислоцированные толщи перми и триаса; второй, отделенный от первого предъюрской поверхностью несогласия, представлен отложениями нижней, средней и самых низов верхней юры, дислоцированных значительно в меньшей степени, чем породы пермотриаса; третий образован верхней юрой, залегающей еще более спокойно. Фаза складчатости, отделяющая второй и третий ярусы, приурочена к низам нижнего келловея и называется восточнопамирской [18].

С некоторой оговоркой, с которой принимается меловой возраст конгломератов Ак-Ширяка, можно выделить четвертый структурный ярус, сложенный этими конгломератами, залегающими с угловым не-

согласием на перми, триасе и юре, и, наконец, пятый, выраженный вулканогенными образованиями мела — палеогена, полого залегающими в виде покрова на всех более древних отложениях. Возможно, к этому же структурному ярусу надо относить красноцветные толщи неогена, однако сделать это с достоверностью в настоящее время нельзя вследствие слабой изученности палеогеново-неогеновой истории Юго-Восточного Памира.

#### V. I. Dronov, E. Ya. Leven

## ON GEOLOGY OF THE SOUTH-EAST PAMIRS

The questions of the structural-facial zoning and stratigraphy of the South-East Pamirs as well as the history of its development are elucidated in the paper. In the Permian and the Triassic the structural-zone of the South-East Pamirs is subdivided into three sub-zones: the Central, Intermediate and Marginal. The Central or Istyk, Mynkhajirsk, and Gurumdin subzones are ascribed to the Lower- and Middle Jurassic. All these subzones are characterized by a peculiarity of sedimentary facies.

The description of the sediments of the South East Pamirs begins with the limestones, exposed at marginal parts of the zone and conditionally ascribed to the

Interest the description of the sediments of the south East Pathirs begins with the limestones, exposed at marginal parts of the zone and conditionally ascribed to the Carboniferous. The Permian sediments represented by both divisions are subdivided into five series. The Triassic sediments are divided into two series; the wide development of the Lower and Middle Triassic conformably overlying the Permian is confirmed. In the Central subzone a belt of Londinian-Norian reefs is isolated. The Jurassic sediments are represented by all three divisions, in the 1styk sub-zone the Lias and Aalenian stages being absent. The arenaceous conglomerate beds of Ak-Shiryak are presumably referred to the Cretaceous. It is confirmed that the effusive beds of Kysyl-Kabat and Bakhmal-Jilga formerly ascribed to the Jurassic actually belong to the Post-Jurassic (Cretaceous-Paleogene). The description of the section through the South-East Pamirs deposits closes with the continental beds ascribed to the Neogene.

The history of development is considered beginning with the Permian. From the Lower Permian to the Jurassic inclusively the South-East Pamirs served as the arena of marine sediment accumulation which took place with short-period breaks on the boundary between the Triassic and Lias and in the Lower Callovian. The main phase of folding developed on the boundary between the Jurassic and the Cretaceous. With this phase a granite intrusion at the marginal parts of the zone is connected. New phases of folding which took place during the Paleogene were accompanied by the formation of effusive beds. The formation of the South-East Pamirs was completed as a

result of Neogene and Quarternary movements,

#### ЛИТЕРАТУРА

1. Бархатов В. П. Схема структурно-тектонического районирования Памира: Уч. зап. ЛГУ, сер. геол. наук, вып. 10, 1959.

2. Беля́евский Н. А. Альпийская тектопика Западного Куэнь-Луня. Изв. АН СССР сер. геол., № 2, 1949.

3. Виноградов П. Д. Геологическое строение СССР, т. III. Госгоолтех-

издат, 1958. 4. Виноградов П. Д., Кипарисов Л. Д. Геологическое строение СССР, т. І. Госгеолтехиздат, 1958.

5. Виноградов П. Д., Ошурков Н. Н. Угленосные отложения Памира.

Тр. ВСЕГЕИ, общ. сер., вып. 9, 1948. 6. Губин И. Е. Памир и сопредельные страны. Изв. Тадж. ФАН СССР, № 2. 1943.

7. Дронов В. И., Карапетов С. С., Левен Э. Я. О возрасте углей на Восточном Памире. Докл. АН СССР, т. 127, № 3, 1959.

8. Дуткевич Г. А. Основные черты строения верхислалеозойских отложений Памира. Науч. итоги работ Тадж.-Памирск. экспед., 1936.

9. Дюфур М. С., Дронов В. И., Кушлин В. К. К стратиграфии триаса. Юго-Восточного Памира. Докл. АН СССР, т. 123, № 3, 1958.

10. Дуткевич Г. А., Калмыкова М. А. Восточная часть хребта Базардара.

Тр. Тадж.-Памирск, экспед. вып. 43, 1936. 11. Клунников С. И., Недзвецкий А. П., Виноградов П. Д. Геологическое строение Юго-Восточного Памира. Тадж.-Пам. экспед. 1934 г., вып. 64. Тр. экспед., 1936.

12. Клунников С. И. Распространение третичных континентальных толщ

на Южном Памире. Тр. ТКЭ 1932 г., вып. 3, 1934.

13. Кухтиков М. М. Краевые разломы Памира и Дарваза. Уч. зап. Тадж. гос. ун-та, т. XII, вып. 2, 1956.

14. Левен Э. Я. К вопросу о возрасте мургабской свиты на Восточном Памире. Тр. Тадж. ф. АН СССР, ТС, IV вып. I, 1959.
15. Наливкин Д. В. и др. Геологическое строение Памира. ГРО, вып. 182,

- 16. Наливкин Д. В. Тектоника Памира. Тр. XVII сессии Междунар, геол. конгр., т. 2, 1939. 17. Николаев В. А. Геологическое строение северного склона Аличурского
- хребта. Сб. ТПЭ, 1932.

18. Ренгартен В. П. Геологическое строение района Мургаб-Истык на Восточном Памире. Тр. ТПЭ, вып. 22, 1935.

19. Решения совещания по разработке унифицированных стратиграфических схем для Средней Азии. Изд. АН УзССР, Ташкент, 1959.

Управление геологии и охраны не при СМ Тадж. ССР

#### От Редакционной коллегии

В. И. Дронов — один из авторов статьи «К геологии Юго-Восточного Памира» в сентябре с. г. обратился в редакцию журнала «Советская геология» с просьбой поместить в статье дополнительные материалы, имеющие большое значение для правильного понимания геологии Памира. Эти материалы не могли быть учтены в статье, так как журнал, в котором она публикуется, в сентябре был уже сверстан.

В. И. Дронов сообщает следующее:

1. Доказано отсутствие проявлений восточнопамирской фазы складчатости для всей территории Юго-Восточного Памира. Разрез юрских отложений на этой террито-

рии всюду имеет одноярусное (в структурном отношении) строение.

2. Для каждой из выделенных трех подзон — Гурумдинской, Истыкской и Мынхаджирской — установлен специфический тип разреза юры. Для Гурумдинской подзоны характерен непрерывный разрез юрских отложений от нижнего лейаса до среднего келловея включительно; территория Истыкской подзоны отличается непрерывным разрезом юры, начиная с байосского яруса и до оксфорда, а возможно и кимериджа включительно; наконец, в Мынхаджирской подзоне установлен непрерывный разрез юры от среднего либо верхнего лейаса до бата включительно.

3. Мощность юрских отложений в каждой из подзон не превышает 1000 м. Ранее она определялась в 2,5—3 км, поскольку разрезом юры территории Истыкской подзоны исследователи надстраивали разрезы Гурумдинской и Мынхаджирской подзон.

4. Возраст углей месторождения «Куртеке» — байосский. Связаны угли с базаль-

ной свитой юрского разреза Истыкской подзоны.

5. Для территории Юго-Восточного Памира выделяются три структурных яруса — два в отложениях геосинклинального (морского) периода ее развития и один для осадков, накопление которых происходило после главной инверсии. Первый структурный ярус образуют конформно смятые осадки перми и триаса; второй — отложения юрского возраста и, наконец, третий структурный ярус образован послеюрскими красноцветными породами, накопление которых происходило в крупных межгорных прогибах и депрессиях.